

Магнитоэлектрические и магнитоупругие взаимодействия в мультиферроиках $\text{NdFe}_3(\text{BO}_3)_4$

А. К. Звездин[†], Г. П. Воробьев*, А. М. Кадомцева^{*1)}, Ю. Ф. Попов*, А. П. Пятаков^{+*}, Л. Н. Безматерных[△],
А. В. Кувардин*, Е. А. Попова*

[†]Институт общей физики им. А.М. Прохорова РАН, 119991 Москва, Россия

* Московский государственный университет им. М.В. Ломоносова, 119992 Москва, Россия

[△]Институт физики им. Л.В. Киренского Сибирского отд. РАН, 660036 Красноярск, Россия

Поступила в редакцию 26 апреля 2006 г.

Проведено комплексное экспериментальное и теоретическое исследование магнитных, магнитоэлектрических и магнитоупругих свойств ферробората неодима $\text{NdFe}_3(\text{BO}_3)_4$ вдоль различных кристаллографических направлений в сильных импульсных магнитных полях до 230 кЭ в интервале температур 4.2–50 К. Обнаружено, что ферроборат неодима, подобно ферроборату гадолиния, является мультиферроиком, причем с значительно большими (свыше 300 мКл/м²), значениями электрической поляризации, управляемой магнитным полем, и гигантским квадратичным магнитоэлектрическим эффектом. Из экспериментальных данных впервые определено поле обмена редкоземельной и железной подсистем (≈ 50 кЭ). Проведен теоретический анализ, основанный на магнитной симметрии и квантовых свойствах иона Nd в кристалле, позволивший объяснить необычное поведение магнитоэлектрических и магнитоупругих свойств ферробората неодима в сильных магнитных полях и наблюданную корреляцию между ними.

PACS: 75.80.+q

В семействе редкоземельных ферроборатов $\text{RFe}_3(\text{BO}_3)_4$ в настоящее время наиболее исследован $\text{GdFe}_3(\text{BO}_3)_4$ (основное состояние ионов Gd^{3+} $^8S_{7/2}$) [1–4], в котором наблюдается структурный фазовый переход при 156 К, антиферромагнитное упорядочение спинов Fe^{3+} при $T_N = 38$ К и спин-переориентационный переход при $T_R \sim 10$ К. Недавно обнаруженные в нем индуцированные магнитным полем фазовые переходы и сопровождающие их эффекты управления электрической поляризацией с помощью магнитного поля свидетельствуют о принадлежности этого соединения к классу мультиферроиков [5].

Представляло интерес изучить влияние основного состояния и ионного радиуса редкоземельного иона в ферроборатах на их свойства и фазовые переходы. С этой целью было предпринято комплексное исследование различных свойств монокристалла ферробората неодима $\text{NdFe}_3(\text{BO}_3)_4$ ($T_N \sim 32$ К), в котором ион Nd^{3+} обладает большим ионным радиусом по сравнению с Gd^{3+} и является крамерсовским ионом с основным состоянием $^4I_{9/2}$. Так же как и $\text{GdFe}_3(\text{BO}_3)_4$, $\text{NdFe}_3(\text{BO}_3)_4$ имеет ромбоэдрическую структуру с пространственной группой R32, и в нем возможен эффект управления электрической поляризацией с помощью магнитного поля, аналогично обнаруженному в $\text{GdFe}_3(\text{BO}_3)_4$ [5]. Для сопоставления свойств $\text{GdFe}_3(\text{BO}_3)_4$ и $\text{NdFe}_3(\text{BO}_3)_4$ было предпринято исследование магнитных, магнитоэлектрических и магнитоупругих свойств в монокристаллах $\text{NdFe}_3(\text{BO}_3)_4$ в сильных импульсных магнитных полях.

Экспериментальные результаты. Измерялись намагниченность, электрическая поляризация и магнитострикция монокристалла $\text{NdFe}_3(\text{BO}_3)_4$ в сильных магнитных полях до 230 кЭ при $H \parallel c$ и $H \perp c$ в интервале температур 4.2–50 К.

На рис.1 представлены кривые намагничивания вдоль осей a и c кристалла $\text{NdFe}_3(\text{BO}_3)_4$ при температурах 4.5, 15, 20, 30 К (ось a направлена вдоль одной из трех осей второго порядка, перпендикулярных оси с третьего порядка). Как показали измерения, величина намагниченности при приложении поля вдоль оси c практически не зависела от температуры T . Кривые намагничивания вдоль осей a и b кристалла совпадали и демонстрировали зависимость от температуры (рис.1). В полную намагниченность $\text{NdFe}_3(\text{BO}_3)_4$ вносят вклады как слабо зависящая от T антиферромагнитная решетка железа, так и редкоземельная подрешетка ионов Nd^{3+} с сильной зависимостью от T :

$$\mathbf{M}(H, T) = \mathbf{M}_{\text{Fe}}(H) + \mathbf{M}_{\text{Nd}}(H, T). \quad (1)$$

¹⁾e-mail: kedomts@plms.phys.msu.ru

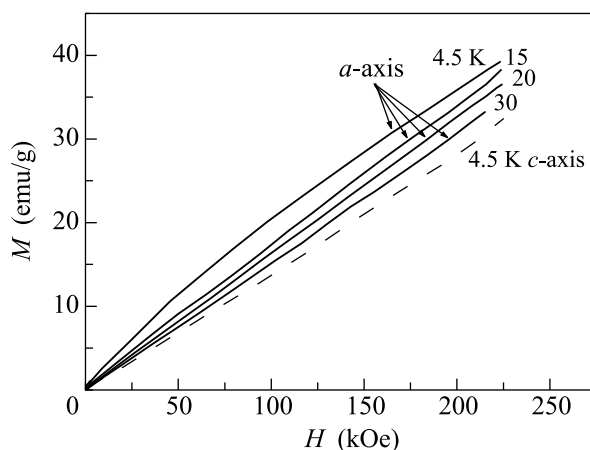


Рис.1. Зависимость намагниченности от магнитного поля, направленного вдоль осей a и c , для монокристалла $\text{NdFe}_3(\text{BO}_3)_4$

При ориентации магнитного поля вдоль оси a кристалла в области низких температур 4.2–25 К возникали продольные магнитострикционные деформации, которые имели куполообразную зависимость от величины магнитного поля (рис.2). Так при тем-

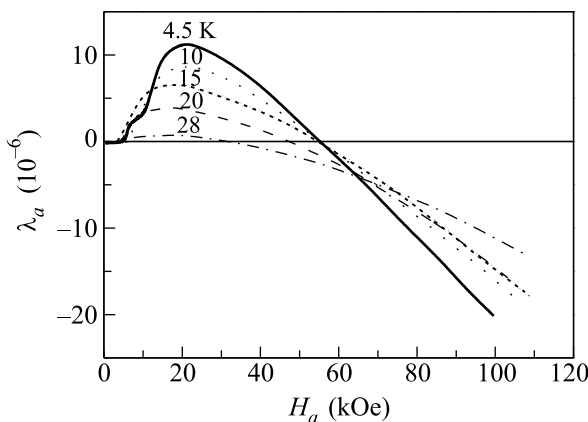


Рис.2. Изотермы продольной магнитострикции от магнитного поля, направленного вдоль оси a для монокристалла $\text{NdFe}_3(\text{BO}_3)_4$

пературе 4.2 К в магнитном поле $H^{\text{crit}} \sim 10$ кЭ наблюдался положительный скачок продольной магнитострикции ($\sim 10^{-5}$), который уменьшался с ростом температуры, обращаясь в нуль при 25 К. С увеличением магнитного поля при $H \sim 50$ кЭ продольная магнитострикция изменяла знак и наблюдаемая выше при 28 К отрицательная магнитострикция квадратично зависела от магнитного поля. Как будет показано ниже, в теоретической модели значение поля 50 кЭ, в котором магнитострикция меняет знак, соответствует полю обмена, действующему со сторо-

ны антиферромагнитной подсистемы железа на ионы редкой земли.

В том же интервале температур 4.2–25 К было обнаружено также при $H \parallel a$ в полях $H^{\text{crit}} \sim 10$ кЭ скачкообразное возникновение большой положительной продольной электрической поляризации (~ 400 мКл/м² при 4.5 К), которая с ростом поля уменьшалась и изменяла знак при тех же значениях поля 50 кЭ, что и магнитострикция. Однако в отличие от магнитострикции, в полях, превышающих ~ 80 кЭ, электрическая поляризация насыщалась (рис.3), достигая значения ~ -320 мКл/м². Следует отметить, что электрическая поляризация на-

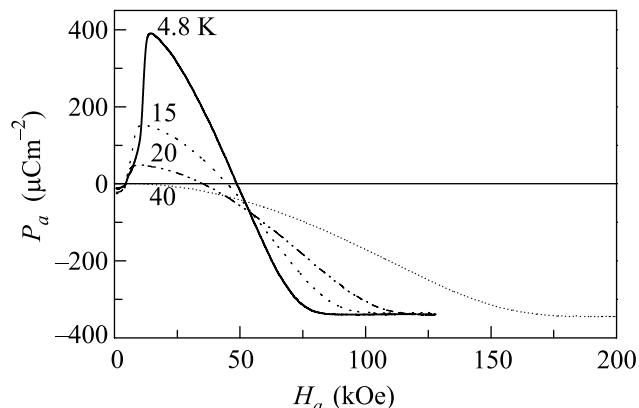


Рис.3. Зависимость продольной электрической поляризации от магнитного поля, направленного вдоль оси a для монокристалла $\text{NdFe}_3(\text{BO}_3)_4$

сыщения $P_a(H_a)$ в $\text{NdFe}_3(\text{BO}_3)_4$ в 30 раз превышала значение, наблюдаемое для $\text{GdFe}_3(\text{BO}_3)_4$.

Величины продольной магнитострикции и электрической поляризации при $H \parallel c$ при всех температурах (4.2–50 К) были на порядок меньше, чем вдоль оси a , и имели квадратичную зависимость от магнитного поля, что, по-видимому, указывает на ориентацию спинов ионов железа в ab -плоскости. В самой ab -плоскости в отсутствие поля существуют три равноправных направления, соответствующих трем осям второго порядка. Приложение поля в плоскости заставляет магнитные моменты подрешеток железа переориентироваться в поле $H \sim 10$ кЭ в направлении, перпендикулярном полю. Тот факт, что величины скачков продольной магнитострикции при ориентации магнитного поля вдоль оси b кристалла (то есть перпендикулярно одной из осей второго порядка) были на порядок меньше ($\lambda_b(H_b) \sim 10^{-6}$) скачков поляризации при $H \parallel a$, возможно, указывает на преимущественную ориентацию спинов вдоль осей второго порядка.

Поперечная электрическая поляризация $P_a(H_b)$ в отличие от продольной $P_a(H_a)$ в сильном магнитном

поле не насыщалась, достигая при 4.5 К в поле 200 кЭ большого значения $2 \text{ мКл}/\text{м}^2$ (рис.4).

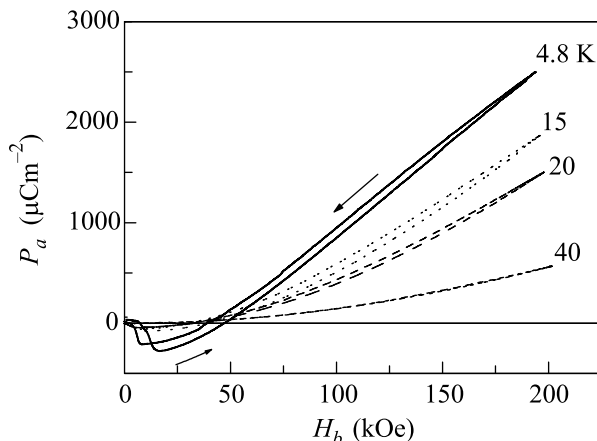


Рис.4. Зависимость электрической поляризации вдоль оси a от магнитного поля, направленного вдоль оси b для монокристалла $\text{NdFe}_3(\text{BO}_3)_4$

Теоретическая модель, магнитная симметрия и обсуждение результатов. Для обсуждения результатов экспериментов используем модель магнитной структуры $\text{NdFe}_3(\text{BO}_3)_4$, которая уже была рассмотрена ранее [2, 5] для ферробората гадолиния, но с некоторыми дополнительными нюансами относительно подсистемы редкоземельных ионов.

Суть этой модели сводится к следующему. Подсистема ионов Fe^{3+} описывается при помощи двух магнитных подрешеток, антиферромагнитно связанных между собой обменным полем. Пусть $\mathbf{M}_1, \mathbf{M}_2$ – магнитные моменты подрешеток железа, а $\mathbf{M}_{\text{Fe}} = \mathbf{M}_1 + \mathbf{M}_2$, $\mathbf{L} = \mathbf{M}_1 - \mathbf{M}_2$ – намагниченность и вектор антиферромагнетизма подсистемы ионов железа, соответственно, $|\mathbf{M}_1| = |\mathbf{M}_2| \approx \frac{15}{2} \mu_B/\text{f.u.}$ Магнитная анизотропия ферробората неодима такова, что вектор \mathbf{L} лежит в базисной плоскости (ab -плоскости) кристалла (при $H = 0$) во всем диапазоне температур от 0 до T_N , в отличие от $\text{GdFe}_3(\text{BO}_3)_4$, где имеет место переориентация спиново железа от базисной плоскости к c -оси при $T = 10$ К. Согласно существующим представлениям, эта переориентация обусловлена взаимодействием ионов Gd с подсистемой ионов железа. В случае $\text{NdFe}_3(\text{BO}_3)_4$ ситуация обратная – ионы Nd усиливают стабильность базисной плоскости для спинов железа, то есть увеличивают соответствующую константу анизотропии, удерживающую спины ионов железа в ab -плоскости. Это – характерное свойство ионов Nd^{3+} .

Так как в базисной плоскости, согласно симметрии кристаллической структуры ферроборатов, имеются три оси легкого намагничивания, совпадающие с осями 2-го порядка, то очевидно, что в равновесных

условиях кристалл разбивается на 3 типа доменов, в каждом из которых вектор \mathbf{L} ориентирован вдоль соответствующей оси 2-го порядка. Этот факт нужно учитывать при рассмотрении процессов намагничивания в относительно слабых полях (до 10 кЭ, как следует из экспериментальных магнитоэлектрических и магнитострикционных зависимостей).

Для дальнейшего анализа естественно разбить область магнитных полей на два диапазона: а) относительно слабых полей до 10 кЭ, б) сильных полей, больших 10 кЭ. В первом диапазоне полей магнитная и доменная структуры образца перестраиваются таким образом, что вектор \mathbf{L} в результате становится однородным по образцу и направленным перпендикулярно внешнему магнитному полю, после чего дальнейший процесс перемагничивания определяется редкоземельной подсистемой и скашиванием (spin-flip) подрешеток железа. Последний процесс растянут на диапазон полей порядка 10^6 Э, поэтому в интервале полей до $10^5 - 2 \cdot 10^5$ Э можно считать, что

$$\mathbf{M}_{\text{Fe}} = \chi_{\perp} \mathbf{H}, \quad (2)$$

где χ_{\perp} – перпендикулярная восприимчивость железной подрешетки (взаимодействие с редкоземельной подсистемой практически не влияет на процесс скашивания подрешеток железа в Nd ферроборате).

Перейдем к рассмотрению системы ионов Nd^{3+} . Как обычно, обменным взаимодействием $\text{Nd}-\text{Nd}$ будем пренебречь (его энергия $\lesssim 1$ К), то есть подсистема ионов Nd предполагается парамагнитной и находится под воздействием обменного поля со стороны ионов железа. Другое важное воздействие на ионы Nd – кристаллическое поле, расщепляющее его основной мультиплет на 5 крамерсовских дублетов. Напомним, что основным мультиплетом Nd^{3+} является ${}^4I_{9/2}$ с $S = 3/2, L = 6, J = 9/2$. Согласно спектроскопическому эксперименту [6], основной дублет расщепленного мультиплета ${}^4I_{9/2}$ достаточно хорошо отделен от возбужденных дублетов, поэтому во всем интересующем нас интервале температур (4.2–30 К) ионы Nd^{3+} можно рассматривать в “однодублетном” приближении. Вторым важным следствием оптического эксперимента [6] является то, что основной дублет ионов Nd^{3+} расщеплен (энергия расщепления $\sim 8.8 \text{ см}^{-1}$ при 4.2 К и постепенно понижается до нуля при $T = T_N$). Это означает, что ионы Nd^{3+} намагничены, то есть обладают при $T < T_N$ магнитными моментами. В то же время кривые намагниченности $\text{NdFe}_3(\text{BO}_3)_4$ при $H \rightarrow 0$ стремятся к нулю при всех ориентациях магнитного поля. Учитывая эти экспериментальные данные, мы полагаем, что систему ионов Nd^{3+} следует разделить на две

подсистемы, каждая из которых характеризуется моментом (в расчете на один ион)

$$\mathbf{m}_{i,\alpha}(H, T) = \frac{g_\alpha \mu_B}{2} \frac{\mathbf{H}_{\text{eff}}^i}{H_{\text{eff}}} \text{th} \left(\frac{g_\alpha \mu_B H_{\text{eff}}}{2kT} \right) + \chi_\alpha^{VV} \mathbf{H}_{\text{eff}}, \quad (3)$$

где g_α – эффективный g -фактор основного дублета иона Nd³⁺, индекс $\alpha = \perp, c$ определяет ориентацию магнитного момента, \perp относится к базисной плоскости, c – к оси c (малое влияние магнитной анизотропии в плоскости на величину g_\perp здесь не учитывается); $\mathbf{H}_{\text{eff}}^i = \pm \mathbf{H}_{\text{exch}} + \mathbf{H}$, \mathbf{H}_{exch} – обменное поле, действующее на ионы редкой земли со стороны подрешеток железа, знаки \pm соответствуют двум антиферромагнитным подрешеткам, индексы $i = 1, 2$ нумеруют редкоземельные подсистемы, χ_α^{VV} – ван-Флековская восприимчивость.

Формула (3) удовлетворяет как упомянутому выше оптическому эксперименту (“однодублетное” расщепление в нулевом поле) [6], так и данным магнитных измерений (стремление полной намагниченности редкоземельной подсистемы $M_{\text{Nd}} = \mathbf{m}_1 + \mathbf{m}_2$ к нулю при $H \rightarrow 0$). Что касается величины эффективного g -фактора, то к настоящему времени ситуация еще не вполне выяснена. Для свободного иона величина магнитного момента μ_0 определяется как $\mu_0 = gJ\mu_B = \frac{8}{11} \times \frac{9}{2}\mu_B \approx 3.2\mu_B$. Однако формула (3) соответствует “однодублетному” приближению. В этом случае g_α определяется матричными элементами оператора магнитного момента $\langle 1 | g\mu_B \mathbf{J} | 2 \rangle$ между волновыми функциями основного крамерсовского дублета $|1\rangle$ и $|2\rangle$. Последние пока неизвестны, но из анализа эксперимента можно заключить, что при намагничивании в базисной плоскости магнитный момент иона редкой земли составляет $g_\perp \mu_B \approx 2.7\mu_B$, как будет показано ниже, в то время как при намагничивании вдоль оси c вклад редкоземельной подсистемы практически равен нулю (то есть $g_c \sim 0$), на что указывает отсутствие температурной зависимости $M(H||c)$ (рис.1).

С учетом сделанных выше замечаний полная намагниченность системы редкоземельных ионов, получаемая суммированием (3) по i , равна (в расчете на одну молекулу)

$$M_{\perp}^{\text{Nd}} = \frac{g_\perp \mu_B}{2} \frac{H_\perp}{H_{\text{eff}}} \text{th} \left(\frac{g_\perp \mu_B H_{\text{eff}}}{2kT} \right) + \chi_\perp^{VV} H_\perp, \quad (4a)$$

$$M_c^{\text{Nd}} = \chi_c^{VV} H_c, \quad (4b)$$

где $H_{\text{eff}} = \sqrt{H_{\text{exch}}^2 + H_\perp^2}$.

Используя в качестве обменного поля между редкоземельной и железной подрешеткой $H_{\text{exch}} \approx 50$ кЭ (поле, в котором редкоземельный вклад в электрическую поляризацию и магнитострикцию меняет знак

(рис.2, 3)), по величине расщепления $\Delta = g_{\text{eff}} \mu_B H = 8.8$ см⁻¹ из оптического эксперимента [6] оцениваем эффективный g -фактор $g_\perp \approx 2.7$. С использованием этих данных в пренебрежении ван-Флековской восприимчивостью $\chi_\alpha^{VV} \approx 0$ формулы (1), (2), (4) хорошо описывают экспериментальные кривые рис.1. Наклон зависимости при $H||c$ позволяет определить значение антиферромагнитной восприимчивости $\chi_\perp \approx 1.4 \cdot 10^{-4}$ см³/г, что соответствует полю обмена антиферромагнитной подсистемы железа $H_E \sim 700$ кЭ.

Перейдем к анализу магнитоэлектрических и магнитоупругих измерений. Для математического описания взаимосвязи электрической поляризации \mathbf{P} , вектора антиферромагнетизма \mathbf{L} и намагниченности железной подрешетки \mathbf{M}_{Fe} , а также намагниченностей редкоземельной подсистемы \mathbf{m} ; рассмотрим трансформационные свойства векторов \mathbf{P} , \mathbf{L} , \mathbf{M} и тензорных величин относительно преобразований пространственной группы R32. Отметим, что магнитная элементарная ячейка ферробората неодима в два раза превышает (в направлении оси c) кристаллохимическую, что не позволяет непосредственно использовать традиционный подход к теории антиферромагнетизма, основанный на магнитной и пространственной симметрии [7–9], в котором предполагается, что кристаллохимическая ячейка совпадает с магнитной. Очевидный путь преодолеть эту трудность – удвоить кристаллохимическую ячейку ферробората неодима и тем самым вернуться к традиционному подходу. Следуя ему, редуцируем пространственную группу R32, полагая трансляции на постоянные элементарной ячейки в базисной плоскости и удвоенную трансляцию вдоль оси c с равными тождественным преобразованию E . Редуцированная группа \tilde{G}_{32} характеризуется следующими генераторами: E – единичное преобразование, C_{32}^+ – ось третьего порядка, параллельная оси c , 2_x^+ – одна из трех осей второго порядка, перпендикулярная оси c и направленная вдоль оси a , T_1^- – трансляция на один период решетки вдоль оси c . Знаки \pm обозначают обменную симметрию. Так, четные операции симметрии C_3^+ , 2_x^+ переводят антиферромагнитную подрешетку саму в себя, а нечетная операция T_1^- переводит одну антиферромагнитную подрешетку в другую, с противоположным направлением намагниченности.

Используя эти генераторы, можно построить таблицу трансформационных свойств необходимых тензорных величин для пространственной группы \tilde{G}_{32} . Как следует из таблицы, формулы для компонент вектора P имеют вид

$$P_x = c_1 L_y L_z + c_2 (L_x^2 - L_y^2) +$$

Трансформационные свойства основных физических тензоров в группе \tilde{G}_{32} , R – матрица поворота на 120° , P_i , L_i , M_i – компоненты векторов электрической поляризации, антиферромагнетизма и намагниченности, соответственно, u_{ij} – компоненты тензора магнитострикции

	E	T_1	C_3	2_x	L_i	M_i	$L_i L_j$	$M_i M_j$	P_i	u_{ij}
Γ_1	1	1	1	1			$L_x^2 + L_y^2; L_z^2$	$M_x^2 + M_y^2; M_z^2$		$u_{xx} + u_{yy}; u_{zz}$
Γ'_1	1	-1	1	1						
Γ_2	1	1	1	-1		M_z			P_z	
Γ'_2	1	-1	1	-1	L_z					
Γ_3	1	1	R	$\begin{pmatrix} 1 & 0 \\ 0 & -1 \end{pmatrix}$		$\begin{pmatrix} M_x \\ M_y \end{pmatrix}$	$\begin{pmatrix} L_y L_z \\ -L_x L_z \\ L_x^2 - L_y^2 \\ -2 L_x L_y \end{pmatrix}$	$\begin{pmatrix} M_y M_z \\ -M_x M_z \\ M_x^2 - M_y^2 \\ -2 M_x M_y \end{pmatrix}$	$\begin{pmatrix} P_x \\ P_y \end{pmatrix}$	$\begin{pmatrix} u_{xx} - u_{yy} \\ -2 u_{xy} \\ u_{yz} \\ -u_{xz} \end{pmatrix}$
Γ'_3	1	-1	R	$\begin{pmatrix} 1 & 0 \\ 0 & -1 \end{pmatrix}$	$\begin{pmatrix} L_x \\ L_y \end{pmatrix}$					

$$+\frac{1}{2} \sum_{i=1}^2 \{c_3(m_{ix}^2 - m_{iy}^2) + c_4 m_{iz} H_y + c_5 m_{iz} m_{iy}\}, \quad (5a)$$

$$P_y = -c_1 L_x L_z - 2 c_2 L_x L_y -$$

$$-\frac{1}{2} \sum_{i=1}^2 \{2c_3 m_{ix} m_{iy} + c_4 m_{iz} H_x + c_5 m_{iz} m_{ix}\}, \quad (5b)$$

$$P_z = c_6 L_x L_z (L_x^2 - 3L_y^2) + \frac{1}{2} c_7 \sum_{i=1}^2 m_{ix} m_{iz} \{m_{ix}^2 - 3m_{iy}^2\}, \quad (5b)$$

где суммирование ведется по двум парамагнитным подсистемам редкоземельной подрешетки.

Тот факт, что электрическая поляризация в ферроборате неодима превышает таковую в $\text{GdFe}_3(\text{BO}_3)_4$, позволяет заключить, что основную роль в формулах (5) играет редкоземельная подсистема, то есть слагаемые, определяемые константами c_3 , c_4 , c_5 , c_7 , поэтому слагаемые с коэффициентами c_1 , c_2 , c_6 во избежание громоздких формул в первом приближении можно опустить.

В формулах (5) коэффициенты c_3 , c_4 , c_5 , c_7 одинаковы для обеих редкоземельных “подрешеток”. Это объясняется тем фактом, что все редкоземельные ионы занимают одинаковую кристаллографическую позицию и отличаются лишь за счет обменного поля, действующего на них (см. формулу (3)).

Рассмотрим сначала случай $\mathbf{H} = (H_x, 0, 0)$. Предполагая, что при $H_x = 0$ в образце существуют домены с векторами \mathbf{L} , ориентированными вдоль трех легких осей, легко убедиться, что усреднение по этим доменам (предполагается, что они обладают равными суммарными объемами) обращает компоненты поляризации $\langle \mathbf{P}_i \rangle$ в нуль, где $\langle \rangle$ – знак усреднения. С ростом поля происходит смещение доменов и переориентация спинов железа к оси y (как это обычно происходит в антиферромагнетиках за счет анизотропии восприимчивости) так, что при $H_x \geq 10 \text{ кЭ}$

в образце устанавливается однородное состояние с $\mathbf{L} = (0, L_y, 0)$ и с соответствующим максимумом величины P_x . На рис.3 обращает на себя внимание скачок компоненты P_x при $H \approx 10 \text{ кЭ}$, который естественно связать со спин-флопом в домене с исходным состоянием $\mathbf{L} = (L_x, 0, 0)$.

При $H > 10 \text{ кЭ}$ имеем $\mathbf{L} = (0, \pm L, 0)$, $m_{1x} = m_{2x}$, $m_{1y} = -m_{2y}$, $m_{1z} = m_{2z} \approx 0$, поэтому, согласно формулам (3)–(5),

$$P_x(H \| x) \sim \left(\frac{H^2 - H_{\text{exch}}^2}{H_{\text{exch}}^2 + H^2} \right). \quad (6)$$

При $H = H_{\text{exch}} = 50 \text{ кЭ}$ величины компонент намагниченностей вдоль осей a и b оказываются равными $|m_{iy}| = |m_{ix}|$ и продольная поляризация (6) обращается в нуль, что подтверждается данными эксперимента (рис.3). Природа насыщения изотерм $P_x(H)$ пока не вполне ясна. Вероятно, это связано с нелинейными свойствами электрической подсистемы кристалла.

Рассмотрим случай $\mathbf{H} = (0, H, 0)$, в котором спины ионов железа переориентируются к оси x . В этом случае спин-флопа не происходит и спины переориентируются в отличие от предыдущего случая непрерывно, без скачка, что и демонстрируют зависимости, приведенные на рис.4. При $H > 10 \text{ кЭ}$ имеем $\mathbf{L} = (\pm L, 0, 0)$, $m_{1y} = m_{2y}$, $m_{1x} = -m_{2x}$, $m_{1z} = m_{2z} \approx 0$, поэтому

$$P_x(H \| y) = -P_x(H \| x), \quad (7)$$

где $P_x(H \| x)$ определяется формулой (6). Формула (7) качественно правильно передает полевую зависимость электрической поляризации $P_x(H \| y)$ в интервале полей от 10 кЭ до 70 – 80 кЭ с тем же значением $H_{\text{exch}} \approx 50 \text{ кЭ}$, хотя следует отметить некоторое систематическое превышение экспериментальных кривых относительно предсказываемой теоретически по формуле (7). Суть этого расхождения обсуждается ниже.

При $H > 80$ кЭ поведение кривой $P_x(H\|y)$, как видно из рис.4, кардинально отличается от $P_x(H\|x)$: первая в отличие от второй обнаруживает сильный, практически квадратичный рост, вплоть до полей $H > 200$ кЭ. Этот факт заслуживает специального рассмотрения.

Формулы (5)–(7), которые использованы выше для анализа полевой зависимости $P_i(H)$, не учитывают тот факт, что с возникновением электрической поляризации в образце изменяется кристаллическая симметрия от класса 32 к классу 2 (при $\mathbf{P} = (P_x, 0, 0)$). В классе 2, в частности, магнитная восприимчивость редкоземельных ионов больше не является диагональным тензором, как в классе 32. В тензоре χ_{ik} появляются дополнительные ненулевые компоненты χ_{23} и χ_{32} (в системе координат с $x\|$ оси второго порядка). Это означает, что при $\mathbf{H} = (0, H, 0)$ возникает z -компоненты намагниченности ионов Nd: $m_{iz} = \chi_{32}H_y$, что ведет к возникновению дополнительного вклада в $P_x(H\|y)$:

$$\Delta P_x(H\|y) = c_4 m_z H_y + c_5 m_z m_y \sim H_y^2, \quad (8)$$

что объясняет рост поляризации в сильных полях, а также отмеченное выше систематическое превышение экспериментальных кривых над теоретическими (7) в умеренных полях (в этом же направлении “действует” неучтенный сравнительно малый вклад от железной подрешетки, пропорциональный $(L_x^2 - L_y^2)$).

Заметим, что согласно симметрии тензора χ_{ik} , в классе 2, в магнитном поле $\mathbf{H} = (H_x, 0, 0)$ $m_{iz} = 0$, поэтому при такой ориентации поля не возникает дополнительных членов пропорциональных m_z в электрической поляризации.

Из таблицы может быть также получено, что выражение для магнитоупругой энергии включает в себя члены вида

$$f_{M-Elastic} = \dots + c_1(u_{xx} - u_{yy})(L_x^2 - L_y^2) + \\ + c_2(u_{xx} - u_{yy}) \sum_{i=1}^2 \{m_{ix}^2 - m_{iy}^2\} + \dots \quad (9)$$

Как следует из этого выражения, члены, соответствующие продольной магнитострикции ($u_{xx} - u_{yy}$), пропорциональны разности ($m_{ix}^2 - m_{iy}^2$), подобно x -компоненте поляризации (формула (5a)). Этим объясняется корреляция, наблюдающаяся в экспериментальных зависимостях для продольной поляризации (рис.3) и продольной магнитострикции (рис.2): смена знака эффекта происходит при одних и тех же значениях поля ~ 50 кЭ, равного полю $f-d$ -обмена.

Что касается поведения электрической поляризации и магнитострикции при $H\|c$, то их квадратичная зависимость от поля качественно объясняется ско-

сом подрешеток железа в поле (spin-flip) (см. формулу (2)).

Таким образом, на основе проведенного исследования установлено, что ферроборат неодима, подобно ферроборату гадолиния, является мультиферроиком, причем со значительно большими (свыше 300 мКл/м²) значениями электрической поляризации, управляемой магнитным полем и гигантским квадратичным магнитоэлектрическим эффектом (порядка 10⁻¹⁷ с/А). На основе теоретической модели, описывающей магнитные свойства иона неодима в кристалле, объяснены результаты измерений кривых намагничивания ферробората неодима, оценено поле $f-d$ -обмена (50 кЭ) и значения g -фактора иона неодима для направлений в базисной плоскости $g_{\perp} \sim 3$ и главной оси $g_c \sim 0$. Необычное поведение магнитоэлектрических и магнитоупругих свойств и наблюдаемая корреляция между ними объяснены в рамках симметрийного подхода. Объяснено также различие в полевых зависимостях для продольной, $P_a(H_a)$, и поперечной, $P_a(H_b)$, электрических поляризаций.

Авторы выражают признательность М.Н. Поповой и А.Н. Васильеву за постоянный интерес к работе. Исследования поддержаны грантами Российского фонда фундаментальных исследований # 04-02-16592-а, # 05-02-16997-а, # 04-02-81046-Бел2004-а, частично поддержаны Советом по грантам Президента Российской Федерации по программе поддержки молодых российских ученых (грант МК-3764.2005 г.) и Фондом “Династия”.

1. A. D. Balaev, L. N. Bezmaternykh, I. A. Gudim et al., JMMM **258-259**, 532 (2003).
2. A. I. Панкрац, Г. А. Петраковский, Л. Н. Безматерных, О. А. Баюков, ЖЭТФ **246**, 887 (2004).
3. R. Z. Levitin, E. A. Popova, R. M. Chtsherbov et al., Письма в ЖЭТФ **79**, 531 (2004).
4. S. A. Kharlamova, S. G. Ovchinnikov, A. D. Balaev et al., ЖЭТФ **128**, 1252 (2005).
5. А. К. Звездин, С. С. Кротов, А. М. Кадомцева и др., Письма в ЖЭТФ **81**, 335 (2005).
6. Е. Р. Чукалина, Д. Ю. Куритсин, М. Н. Попова et al., Phys. Lett. A **322**, 239 (2004).
7. Е. А. Туров, УФН **164**, 325 (1994).
8. Е. А. Туров, *Физические свойства магнитоупорядоченных кристаллов*, М.: изд. АН СССР, 1963.
9. А. С. Боровик-Романов, *Лекции по низкотемпературному магнетизму (Магнитная симметрия антиферромагнетиков)*, Новосибирский государственный университет, 1976.